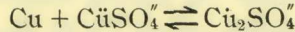


**ΑΝΟΡΓΑΝΟΣ ΧΗΜΕΙΑ.**—Κατάστασις χημικής ίσορροπίας μεταξύ των ιόντων τοῦ μονατομικοῦ χαλκοῦ καὶ διατομικοῦ χαλκοῦ παρουσίᾳ μεταλλικοῦ χαλκοῦ\*, ὑπὸ **Κ. Θ. Καββασιάδου.**\* Ανεκουνώθη ὑπὸ κ. Κ. Ζέγγελη.

## ΕΙΣΑΓΩΓΗ

Ο Bischoff<sup>1</sup> ἥδη ἀπὸ τοῦ 1825 παρετήρησεν ὅτι δι' ἐκπλύσεως μετὰ θερμοῦ ὕδατος τῶν ὑπολειμμάτων τῆς φρύξεως τῶν χαλκοπυριτῶν λαμβάνεται ὑγρὸν περιέχον ὑποθειϊκὸν χαλκόν.

Ο C. Soret πρῶτον καὶ εἶτα οἱ Förster καὶ Blankenberg<sup>2</sup> παρετήρησαν ὅτι μεταλλικὸς χαλκὸς θερμαινόμενος μετὰ διαλύματος θειϊκοῦ χαλκοῦ διαλύεται ἐν μέρει: ἔξήγησαν τοῦτο παραδεχθέντες τὸν σχηματισμὸν ἀλατος ὑποθειϊκοῦ χαλκοῦ κατὰ τὴν ἀντίδρασιν



εὗρον δὲ ὅτι ἡ διάλυσις τοῦ χαλκοῦ προχωρεῖ μέχρις ὅτου μία χημικὴ ίσορροπία ἀποκατασταθῇ μεταξύ τοῦ μονατομικοῦ καὶ διατομικοῦ χαλκοῦ.

Ο Recoura<sup>3</sup>, ὅστις καὶ πρῶτος παρεσκεύασε τὴν ἔνωσιν  $\text{Cu}_2\text{SO}_4$  ἐλευθέραν, μελετήσας τὴν ἀνωτέρω ἀντίδρασιν, εὗρεν ὅτι εἶναι ἐνδόθερμος, ὑπελόγισε δὲ τὴν ἀπορροφαμένην θερμότητα ἀνὰ γραμμομόριον  $\text{Cu}_2\text{SO}_4$  εἰς 5,2 θερμ.

Πρῶτος δὲ R. Luther<sup>4</sup> ἐσπούδασε τὴν χημικὴν ίσορροπίαν τοῦ ἀνωτέρω συστήματος «μεταλλικὸς χαλκός, θειϊκὸς χαλκός, ὑποθειϊκὸς χαλκός» εἰς θερμοκρασίαν 25°C, εὗρε δὲ ὅτι ἡ πυκνότης τοῦ ὑποθειϊκοῦ χαλκοῦ εἰς διάλυμα N θειϊκοῦ χαλκοῦ εἶναι  $1,67 \times 10^{-4}$  mol.  $\text{Cu}_2\text{SO}_4$ , διὰ δὲ τὴν σχέσιν  $\frac{[\text{Cu}]}{[\text{Cu}]}$  εὗρε τὸν ἀριθμὸν  $1,5 \times 10^{-6}$ .

Τὸ ἴδιον ἔτος δὲ Abel<sup>5</sup> ἐσπούδασε τὴν αὐτὴν ίσορροπίαν εἰς θερμοκρασίαν τοῦ δωματίου καὶ διὰ τὴν ἀντίστροφον πρὸς τὴν ἀνωτέρω σχέσιν  $\frac{[\text{Cu}]}{[\text{Cu}]}$  εὗρε τὸν ἀριθμὸν  $0,66 \times 10^{-6}$ .

Τὸ ἔπομενον ἔτος οἱ Bodländer καὶ Storbeck<sup>6</sup> εὗρον διὰ τὴν σχέσιν  $\frac{[\text{Cu}]}{[\text{Cu}]}$  τὴν τιμὴν  $1,6 - 2 \times 10^{-6}$ .

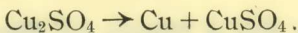
Τέλος δὲ F. Fenwick<sup>7</sup> λόγῳ τῆς ἀνωτέρω ἀσυμφωνίας ἐρευνήσασα ἐκ νέου τὴν ἴδιαν κατάστασιν ίσορροπίας καὶ εἰς τὴν ἴδιαν θερμοκρασίαν εὗρε διὰ τὴν σχέσιν  $\frac{[\text{Cu}]}{[\text{Cu}]}$  τὴν τιμὴν  $1 \times 10^{-6}$ .

Ἀσχέτως τῶν ἀνωτέρω ἀσυμφωνιῶν εἶναι ἐνδιαφέρον νὰ ἐρευνηθῇ ἡ ἐν λόγῳ κατάστασις ίσορροπίας  $\text{Cu} + \text{Cu}_2\text{SO}_4 \rightleftharpoons \text{Cu}_2\text{SO}_4^{\prime\prime}$ , ὅχι μόνον εἰς χαμηλὰς θερμοκρασίας ἀλλὰ καὶ εἰς ὑψηλοτέρας τοιωτας. Εἰς τὰς ὑψηλοτέρας θερμοκρασίας τὸ ποσὸν τοῦ ὑποθειϊκοῦ χαλκοῦ τοῦ σχηματιζομένου εἶναι μεγαλύτερον λόγῳ τῆς φύσεως τῆς

\* C. TH. KAWASSIADIS. — L'équilibre chimique des ions cuivreux et cuivriques en présence du cuivre métallique.

ἀντιδράσεως, ἀπὸ δὲ τὴν ποσότητα τοῦ κατὰ τὴν ψύξιν ἀποβαλλομένου μεταλλικοῦ χαλκοῦ θὰ εἶναι δυνατὸν νὰ ὑπολογισθῇ πλέον θετικῶς ἢ ποσότης τοῦ  $Cu_2SO_4$  κατὰ τὴν στιγμὴν τῆς ίσορροπίας.

Τῷντι οἱ Förster καὶ Seidell<sup>8</sup> παρετήρησαν ὅτι ἐὰν θερμὸν διάλυμα θεῖκοῦ χαλκοῦ μετὰ μεταλλικοῦ χαλκοῦ ἀφεθῇ πρὸς ψύξιν, ἀποβάλλει μεταλλικὸν χαλκόν, καθότι ὁ εἰς ὑψηλὰς θερμοκρασίας παραγόμενος ὑποθεῖκὸς χαλκὸς διασπᾶται ψυχόμενος πρὸς μεταλλικὸν χαλκὸν καὶ θεῖκὸν χαλκὸν κατὰ τὴν ἀντιδρασιν,



Ἐὰν «α» γραμμομόρια εἶναι τὸ ποσὸν τοῦ ἀποβαλλομένου μεταλλικοῦ χαλκοῦ μετὰ τὴν ψύξιν καὶ «β» γραμμομόρια ἢ ποσότης τοῦ διατομικοῦ χαλκοῦ (ἐπίσης μετὰ τὴν ψύξιν), τότε κατὰ τὴν στιγμὴν τῆς χημικῆς ίσορροπίας ἢ ποσότης τοῦ ὑπὸ μορφὴν μονατομικοῦ ἴοντος εὑρισκομένου χαλκοῦ  $Cu^+$  θὰ εἶναι  $2\alpha$ , τοῦ δὲ ὑπὸ μορφὴν διατομικοῦ ἴοντος  $Cu^{2+}$  θὰ εἶναι  $(\beta - \alpha)$ . Τὸ ὅτι ἡ ποσότης τοῦ  $Cu^+$  θὰ εἶναι  $2\alpha$  καταφενὲς τοῦτο ἐκ τῆς ἀντιδράσεως· τὸ ὅτι δὲ ἡ ποσότης τοῦ  $Cu^{2+}$  θὰ εἶναι  $\beta - \alpha$  προκύπτει ἐκ τοῦ γεγονότος ὅτι κατὰ τὴν ψύξιν ἐν μέρος τοῦ  $CuSO_4$  μὲ ποσότητα χαλκοῦ ίσην ἀκριβῶς πρὸς «α» προέρχεται ἐκ διασπάσεως τοῦ  $Cu_2SO_4$  τοῦ κατὰ τὴν στιγμὴν τῆς χημικῆς ίσορροπίας ὑφισταμένου.

Ἐὰν ἐκφράσωμεν τὴν κατάστασιν τῆς χημικῆς ίσορροπίας διὰ τῆς σχέσεως  $\frac{[Cu_2SO_4^+]}{[Cu^{2+}]}$  εἰς γραμμομόρια, δι' ὑπολογισμοῦ εὑρίσκεται ὅτι αὕτη ίσοῦται πρὸς  $\frac{\alpha}{\beta - \alpha}$ . Χάριν συντομίας ἢ σχέσις αὕτη θὰ ἀναγράφηται ὡς  $\frac{[Cu^+]}{[Cu^{2+}]}$ .

#### ΠΕΙΡΑΜΑΤΙΚΟΝ ΜΕΡΟΣ

Ἐξετελέσθησαν δύο σειραὶ πειραμάτων· πρῶτον εἰς θερμοκρασίαν κάτω τῶν  $100^{\circ}C$  ἐντὸς θερμοστάτου καὶ δεύτερον εἰς θερμοκρασίαν ἄνω τῶν  $100^{\circ}C$  ἐντὸς autoclave. Ἐξετελέσθησαν ἐπίσης πειράματα συνεχοῦς κυκλοφορίας θερμοῦ διαλύματος θεῖκοῦ χαλκοῦ εἰς εἰδικὴν συσκευὴν περιέχουσαν μεταλλικὸν χαλκὸν καὶ ψύξεως εἴτα τοῦ διαλύματος οὕτως ὥστε νὰ ὑπάρχῃ συνεχὴς ἐναπόθεσις μεταλλικοῦ χαλκοῦ. Ἐγένετο ὠσαύτως ἔξετασις τῶν λαμβανομένων κρυστάλλων διὰ μικροσκοπίου καὶ ἀκτίνων X.

**Συσκευή.**—Πρὸς σπουδὴν τῆς χημικῆς ίσορροπίας ἐσχεδιάσθη ἡ ἐν τῇ εἰκόνι 1 συσκευὴ κατασκευασθεῖσα ἀπὸ uestlon Pyrex. Εἰς τὸν χῶρον A τίθεται ὁ μεταλλικὸς χαλκὸς καὶ τὸ διάλυμα τοῦ θεῖκοῦ χαλκοῦ. Εἴτα συντήκονται τὰ ἄκρα E<sub>1</sub>, E<sub>2</sub>, E<sub>3</sub> καὶ ἡ συσκευὴ τοποθετεῖται εἰς τὸν θερμοστάτην ἢ εἰς τὸ autoclave καὶ στερεοῦται κατὰ τοιοῦτον τρόπον ὥστε τὸ διάλυμα νὰ παραμένῃ εἰς τὸν χῶρον A κατὰ τὸν χρόνον τῆς θερμάνσεως. Ή θέρμανσις εἰς τὴν ἐπιθυμητὴν θερμοκρασίαν ἐπιτυγχάνεται δι' εἰδικῶν ρυθμιστῶν ἢ διάρκεια τοῦ πειράματος αὐξάνεται βαθμιαίως μέχρις ὅτου

καταστῆ προφανές ότι ἐπετεύχθη κατάστασις ίσορροπίας. Εἰς τὸ τέλος τοῦ πειράματος τὸ autoclave ἐτίθετο εἰς κεκλιμένην θέσιν οὕτως ὥστε τὸ διάλυμα τὸ περιεχόμενον εἰς τὸν χῶρον A νὰ μετατοπίζηται εἰς τὸν χῶρον B, τῆς μετατοπίσεως ὑποβοηθουμένης διὰ τοῦ σωληνίσκου CC. Εἰς τὸ σημεῖον D εἶναι συντετγμένον διάτρητον ἔλασμα λευκοχρύσου ὅπως συγκρατῇ τεμάχια μεταλλικοῦ χαλκοῦ, ἀτινα τυχὸν θὰ ἔφθανον μέχρις ἐκεῖ. Μετὰ τὴν ψῦξιν ἐξήγετο ἡ συσκευὴ ἐκ τοῦ autoclave ἢ τοῦ θερμοστάτου, τὰ ἄκρα E<sub>1</sub>, E<sub>2</sub>, E<sub>3</sub>, ἐθραύσαντο καὶ ἔλαμβάνετο τὸ περιεχόμενον διαχωρίζομένου τοῦ μεταλλικοῦ χαλκοῦ ἀπὸ τοῦ διαλύματος. Ο μεταλλικὸς χαλκὸς καὶ τὰ ἴοντα τοῦ διατομικοῦ χαλκοῦ ἐπροσδιορίζοντο ποσοτικῶς.

Ἐξετελέσθησαν πειράματα εἰς θερμοκρασίας 50°, 75° (θερμοστάτης), 105°, 125°, 150°, 175° καὶ 200° (autoclave). Τὸ διάλυμα τοῦ θειϊκοῦ χαλκοῦ, ὅπερ ἔχρησιμο ποιήθη ἢτο κεκορεσμένον εἰς 20° (0,82 N), δὲ χαλκὸς κοκκώδης, ἡλεκτρολυτικός, ἐξόχως καθαρός.

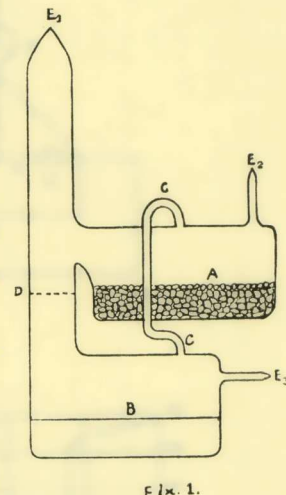
*Ἀναλυτικὰ μέθοδοι.* — Διὰ τὸν προσδιορισμὸν τοῦ μεταλλικοῦ χαλκοῦ καὶ τοῦ Cu ἔχρησιμοποιήθη, ἢ τε ἡλεκτρολυτικὴ καὶ ἡ ὀγκομετρικὴ μέθοδος. Εἰς τὰ πειράματα ὅμως τῶν κάτω τῶν 100°C τὸ ποσὸν τοῦ ἀποβαλλομένου χαλκοῦ ἢτο ἔλάχιστον καὶ παρέστη ἀνάγκη ἀμέσου προσδιορισμοῦ τοῦ Cu<sub>2</sub>SO<sub>4</sub> δι' ὁξειδώσεως τούτου πρὸς CuSO<sub>4</sub> διὰ διαλυμάτων KMnO<sub>4</sub> γνωστῆς δυνάμεως καὶ ἐξουδετερώσεως εἴτε τῆς περισσείας τούτου διὰ κανονικοῦ διαλύματος ἐναμυωνίου θειϊκοῦ σιδήρου.



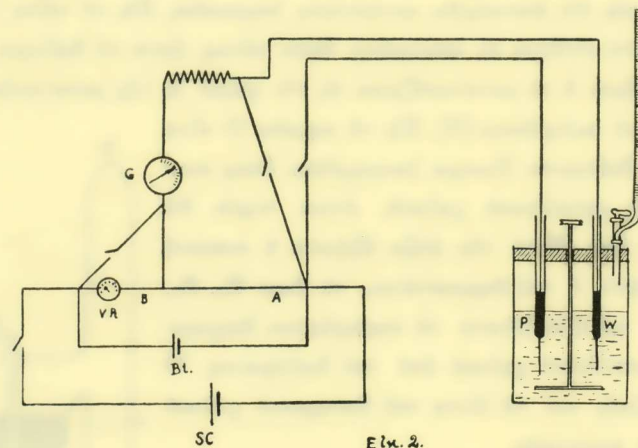
Καθὼς ὅμως εἰς τὸ διάλυμα ὑπῆρχε περίσσεια ἴοντων χαλκοῦ τοῦτο ἢτο κεχρωσμένον βαθύτερα κυανοῦν οὕτως ὥστε νὰ καθίσταται ἀδύνατος ἡ ἐκτίμησις τοῦ τέλους τῆς ἀντιδράσεως. "Ενεκα τούτου ἐγένετο χρῆσις τῆς ἡλεκτροδυναμομετρικῆς μεθόδου (potentiometric titration). Εἰς τὴν εἰκόνα 2 παρίσταται τὸ χρησιμοποιηθὲν ποτενσιόμετρον καὶ ἡ συσκευὴ ὀγκομετρήσεως, αἱ δὲ εἰκόνες 3 καὶ 4 δεικνύουν τὴν πορείαν μιᾶς τοιαύτης ὀγκομετρήσεως.

Μία ἀπότομος μετάπτωσις τοῦ δυναμικοῦ κατὰ μέσον ὕρον 250 μιλλιβόλτη δεικνύει ἐναργῶς τὸ τέλος τῆς ἀντιδράσεως.

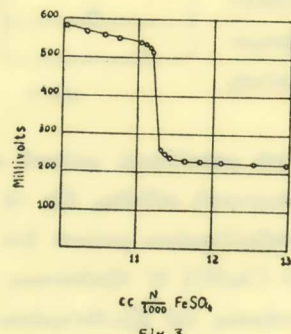
"Ολας ἵδιαιτεραι προφυλάξεις ἐλήφθησαν ὥστε νὰ μὴ ἐπέλθῃ ὁξειδωσις τοῦ Cu<sub>2</sub>SO<sub>4</sub> καθ' ὃν χρόνον ἐγένετο ἡ μεταφορὰ ἀπὸ τῆς συσκευῆς εἰς τὸ δοχεῖον τῆς ὀγκομετρήσεως.



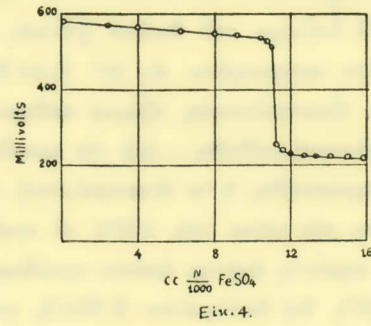
Εἰκ. 1.



Εικ. 2.



Εικ. 3.



Εικ. 4.

Κατωτέρω παρατίθενται πίνακες τῶν εύρεθντων ἀριθμῶν.

## ΠΙΝΑΞ I

Θερμοκρασία	η. ἐκ. διαλύματος	η. ἐκ. $\text{KMnO}_4$	$\%$ $\text{Cu}_2\text{SO}_4$	$\%$ $\text{CuSO}_4$	$[\text{Cu}]$ $[\text{Cü}]$
$50^{\circ}\text{C}$	a) 15	10,6	0,00188	10,2251	$1,721 \times 10^{-4}$
	β) 19,2	17,5	0,00254	10,1710	$2,45 \times 10^{-4}$
	γ) 18,1	15,1	0,00231	10,1789	$2,29 \times 10^{-4}$
$75^{\circ}\text{C}$	α) 16,2	6,1	0,04272	10,1523	$4,16 \times 10^{-3}$
	β) 15,8	6,9	0,05123	10,2460	$5,12 \times 10^{-3}$
	γ) 17,3	8,1	0,05321	10,1821	$5,28 \times 10^{-3}$

ΠΙΝΑΞ II  
Πειράματα 105° C

	16 δρατ	24 δρατ	36 δρατ	48 δρατ	56 δρατ	64 δρατ	72 δρατ
χ. έκ.	—	22,5	21,0	20,3	21,6	21,0	24,0
Μεταλλικ. χαλκός	—	0,0087	0,0111	0,0155	0,0182	0,0193	0,0237
Cu %	—	0,0387	0,0528	0,0766	0,0842	0,0921	0,0951
Cu	—	1,1698	1,0541	1,0129	1,0721	1,0440	1,1789
Cu %	—	5,1992	5,0104	4,9897	4,9736	4,9718	4,9124
[Cu]	—	0,0074	0,0110	0,0158	0,0175	0,0189	0,0197
[Cu]	—						

ΠΙΝΑΞ III  
Πειράματα 125° C

	4 δρατ	8 δρατ	16 δρατ	24 δρατ	36 δρατ	48 δρατ	56 δρατ	72 δρατ
χ. έκ.	40	45,5	22,8	17,6	21,2	20,7	—	20
Μεταλλικ. χαλκός	0,0299	0,0803	0,0620	0,0582	0,0738	0,0694	—	0,0701
Cu %	0,0748	0,1760	0,2721	0,3309	0,3482	0,3469	—	0,3502
Cu	0,7011	0,7390	0,8767	0,6583	0,7682	0,6763	—	0,6769
Cu %	4,2540	4,0593	3,8453	3,1405	3,6238	3,3817	—	3,3847
[Cu]	0,0171	0,0450	0,0761	0,0972	0,1063	0,1143	—	0,1154
[Cu]	0,0171	0,0450	0,0761	0,0972	0,1063	0,1143	—	0,1154

ΠΙΝΑΞ IV  
Πειράματα 150° C

	4 δρατ	8 δρατ	16 δρατ	24 δρατ	36 δρατ	48 δρατ	56 δρατ	72 δρατ
χ. έκ.	21,2	24,6	20,8	20,2	19,6	20,6	—	23,7
Μεταλλικ. χαλκός	0,0267	0,0319	0,0698	0,1042	0,1023	0,1069	—	0,1246
Cu %	0,1258	0,2070	0,3359	0,5162	0,5222	0,5192	—	0,5259
Cu	0,7638	0,7672	0,7154	0,6914	0,6482	0,6762	—	0,7860
Cu %	3,6028	3,5255	3,4827	3,4227	3,3121	3,2826	—	3,3206
[Cu]	0,0362	0,0624	0,1036	0,1776	0,1877	0,1879	—	0,1882
[Cu]	0,0362	0,0624	0,1036	0,1776	0,1877	0,1879	—	0,1882

ΠΙΝΑΞ V  
Πειράματα 175° C

	4 δρατ	8 δρατ	16 δρατ	24 δρατ	36 δρατ	48 δρατ	56 δρατ	72 δρατ
χ. έκ.	20,6	21	20,8	21,8	22,2	22,4	—	21,5
Μεταλλικ. χαλκός	0,0476	0,0697	0,0898	0,1140	0,1231	0,1302	—	0,1286
Cu %	0,2312	0,3321	0,4318	0,5231	0,5548	0,5816	—	0,5986
Cu	0,9034	0,7992	0,7187	0,6853	0,6980	0,7222	—	0,7053
Cu %	4,3857	3,8059	3,4556	3,1456	3,1443	3,2244	—	3,2807
[Cu]	0,0555	0,0936	0,1429	0,2018	0,2143	0,2201	—	0,2232
[Cu]	0,0555	0,0936	0,1429	0,2018	0,2143	0,2201	—	0,2232

## ΠΙΝΑΞ VI

Πειράματα 200°C

	4 δρα	8 δρα	16 δρα	24 δρα	36 δρα	48 δρα	56 δρα	72 δρα
κ. έκ.	21,6	21,3	22,5	20,3	21,9	22,4	—	24,1
Μεταλλικ. χαλκός	0,0709	0,1048	0,1513	0,1506	0,1634	0,1680	—	0,1814
Cu%	0,3282	0,4920	0,6724	0,7421	0,7461	0,7502	—	0,7528
Cü	0,9685	0,7173	0,7849	0,7216	0,7922	0,8140	—	0,8675
Cü%	4,4838	3,3675	3,4886	3,5553	3,6174	3,6339	—	3,5994
[Cu]	0,0799	0,1711	0,2378	0,2550	0,2581	0,2601	—	0,2644
[Cü]								

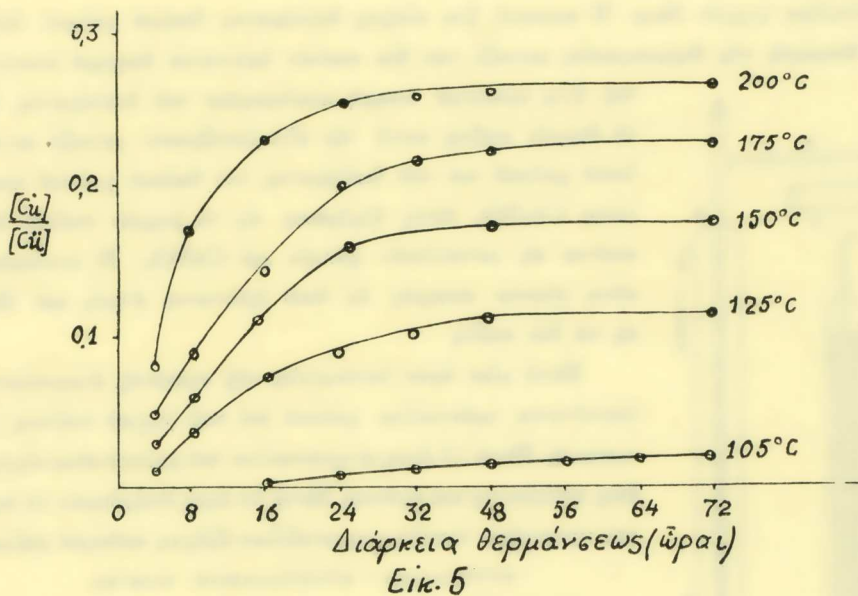
Κατωτέρω παρατίθεται ή σχέσις  $\frac{[Cu]}{[Cü]}$  διὰ τὰς διαφόρους θερμοκρασίας καὶ κατὰ τὴν κατάστασιν τῆς χημικῆς ισορροπίας.

## ΠΙΝΑΞ VII

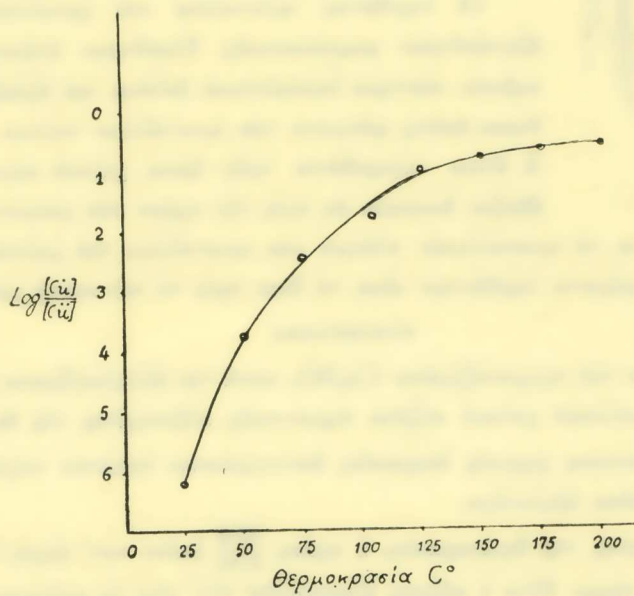
Θερμοκρασία	$\frac{[Cu]}{[Cü]}$	$\log_{10} \frac{[Cu]}{[Cü]}$	$\log_{10} \frac{[Cu]}{[Cü]}$
25°C	$6,6 \times 10^{-7}$	7,8195	-6,1805
50°C	$2,0 \times 10^{-4}$	4,3010	-3,6990
75°C	$4,5 \times 10^{-3}$	3,6532	-2,3468
105°C	$1,97 \times 10^{-2}$	2,2934	-1,7056
125°C	$1,15 \times 10^{-1}$	1,0606	-0,9394
150°C	$1,88 \times 10^{-1}$	1,2741	-0,7259
175°C	$2,22 \times 10^{-1}$	1,3463	-0,6537
200°C	$2,64 \times 10^{-1}$	1,4216	-0,5784

Ἐπὶ τῇ βάσει τῶν ἀνωτέρω πινάκων δυνάμεθα νὰ παρακολουθήσωμεν τὴν πορείαν τοῦ φαινομένου σχηματίζοντες καμπύλας. Ἐὰν ἐπὶ τοῦ ἄξονος X τοποθετήσωμεν τὸν χρόνον διακείας τοῦ πειράματος καὶ ἐπὶ τοῦ ἄξονος Y τὴν σχέσιν  $\frac{[Cu]}{[Cü]}$  λαμβάνομεν τὰς καμπύλας τῆς χημικῆς ισορροπίας διὰ τὰς διαφόρους θερμοκρασίας (εἰκ. 5).

Ἐὰν ἡδη ἐπὶ τοῦ ἄξονος X τοποθετήσωμεν τὴν θερμοκρασίαν καὶ ἐπὶ τοῦ ἄξονος Y τὴν σχέσιν  $\log_{10} \frac{[Cu]}{[Cü]}$  λαμβάνομεν τὴν καμπύλην τῆς χημικῆς ισορροπίας διὰ τὰς θερμοκρασίας 25°C (σημ. Abel) μέχρι 200°C (εἰκ. 6).



Εικ. 5



Εικ. 6

## ΠΕΙΡΑΜΑΤΑ ΚΥΚΛΟΦΟΡΙΑΣ

Η χρησιμοποιηθεῖσα διάτα πειράματα ταῦτα συσκευή (εἰκ. 7) ἐσχεδιάσθη τὸ πρῶτον ὑπὸ τοῦ Denham<sup>8</sup>. Χαλκός κοκκώδης ἐτέθη εἰς τὸ δεξιὸν σκέλος τῆς συσκευῆς AB πέριξ τοῦ ὁποίου ἐκυκλοφόρει ἀτμὸς (steam jacket) εἰς δὲ τὸ ἀριστερὸν σκέλος

έκυκλοφόρει ψυχρὸν ὅδωρ. Ή συσκευὴ ἡτο πλήρης διαλύματος θειϊκοῦ χαλκοῦ. Λόγῳ τῆς διαφορᾶς τῆς θερμοκρασίας μεταξὺ τῶν δύο σκελῶν ὑφίσταται διαφορὰ πυκνότη-

τος ἡτις προκαλεῖ συνεχῆ κυκλοφορίαν τοῦ διαλύματος. Εἰς τὸ θερμὸν σκέλος κατὰ τὴν ἀλληλεπίδρασιν μεταξὺ μεταλλικοῦ χαλκοῦ καὶ τοῦ διαλύματος τοῦ θειϊκοῦ χαλκοῦ παράγεται  $Cu_2SO_4$  ὅστις ἐρχόμενος εἰς τὸ ψυχρὸν σκέλος διασπᾶται εἰς μεταλλικὸν χαλκὸν καὶ  $CuSO_4$ . Ή κυκλοφορία αὕτη γίνεται συνεχῶς ἐφ' ὅσον ὑφίσταται ἀτμὸς καὶ ὅδωρ εἰς τὰ δύο σκέλη.

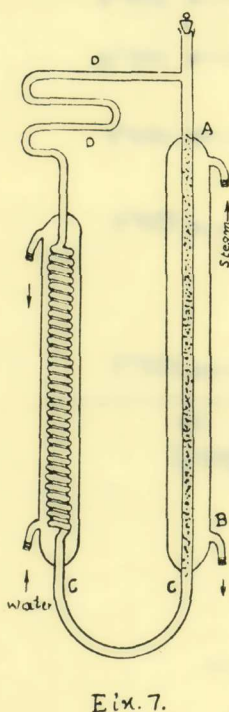
Μετὰ μίαν ὥραν λειτουργίας τῆς συσκευῆς ἀναφαίνονται λεπτότατοι κρύσταλλοι χαλκοῦ ἐπὶ τοῦ ψυχροῦ σκέλους τῆς συσκευῆς. Μετὰ 12 ὥρας οἱ κρύσταλλοι τοῦ χαλκοῦ εἶναι εὐμεγέθεις, στήλιοντες καὶ ἀφθονοι. Μετὰ 24 ὥρας ἐλήφθησαν 15 περίπου γραμμάρια τοιούτων κρυστάλλων ἔξοχως καθαροῦ χαλκοῦ.

#### ΚΡΥΣΤΑΛΛΟΙ — ΚΡΥΣΤΑΛΛΙΚΟΝ ΠΛΕΓΜΑ

Οἱ ληφθέντες κρύσταλλοι τοῦ μεταλλικοῦ χαλκοῦ ἔξητάσθησαν μικροσκοπικῶς. Εὑρέθησαν ἀνήκοντες εἰς τὸ κυβικὸν σύστημα (πρισματικὴ βελόναι καὶ ἔξαεδρα). Ελήφθησαν ἐπίσης φάσματα τῶν κρυστάλλων τούτων δι' ἀκτίνων X ἀττινα συγκριθέντα πρὸς ὅμοια χαλκοῦ κοινοῦ οὐδεμίαν ἔδειξαν διαφορὰν ὡς πρὸς τὴν σχέσιν τῶν φασματικῶν γραμμῶν, οὕτως ὥστε τὸ κρυσταλλικὸν πλέγμα τῶν κρυστάλλων τοῦ χαλκοῦ τῶν κατὰ ἀνωτέρω πειράματα ληφθέντων εἶναι τὸ ἴδιον πρὸς τὸ τοῦ κοινοῦ χαλκοῦ.

#### ΣΥΜΠΕΡΑΣΜΑ

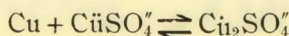
- Τὸ ποσὸν τοῦ σχηματιζομένου  $Cu_2SO_4$  κατὰ τὴν ἀλληλεπίδρασιν διαλύματος  $CuSO_4$  καὶ μεταλλικοῦ χαλκοῦ αὔξάνει σημαντικῶς αὔξανομένης τῆς θερμοκρασίας.
- Ἡ κατάστασις χημικῆς ισορροπίας ἐπιτυγχάνεται τοσοῦτον ταχύτερον, ὅσον ἡ θερμοκρασία εἶναι ὑψηλοτέρα.
- Αὔξανομένης τῆς θερμοκρασίας ἡ σχέσις  $\frac{[Cu]}{[Cu]}$  βαίνει κατ' ἀρχὰς ( $25 - 125^{\circ}C$ ) αὔξανομένη ἀποτόμως. Είτα ἡ αὔξησις ἔχακολουθεῖ ἀλλ' οὐχὶ ὡς πρότερον ἀποτόμως, τείνουσα πρὸς ὄριόν τι.
- Ἐκ τοῦ πειράματος κυκλοφορίας δεικνύεται ὅτι εἶναι δυνατὴ ἡ παραγωγὴ ἔξοχως καθαροῦ χαλκοῦ ἐφ' ὅσον διαθέτομεν ἀτμόν. Δεδομένου ὅτι ὁ τοιοῦτος ἀτμὸς ἐν τῇ βιομηχανίᾳ εἶναι εὐθηγός (καμιναέρια) θὰ ἡδύνατο ἡ μέθοδος αὕτη νὰ μελετηθῇ διὰ βιομηχανικᾶς ἀνάγκας.



Εἰκ. 7.

## RÉSUMÉ

On a recherché l'état d'équilibre chimique dans la formule suivante:



sous des températures 50° - 200° C.

Les résultats de ces recherches sont les suivants:

1.— La quantité de  $\text{Cu}_2\text{SO}_4$  formée par la réaction de la dissolution de  $\text{CuSO}_4$  et de cuivre métallique augmente avec l'élévation de la température.

2.— L'état d'équilibre chimique est obtenu d'autant plus vite que la température est plus élevée.

3.— La température augmentant, la relation  $\frac{[\text{Cu}']}{[\text{Cu}]}$  commence de 25° à 125° C par augmenter brusquement.

Puis l'augmentation continue, mais non brusquement, comme auparavant, avec tendance vers une certaine limite.

4.— Les expériences de circulation démontrent que la production d'un cuivre métallique essentiellement pur est possible tant que nous disposons de vapeur. Etant donné que cette vapeur est à très bon marché dans l'industrie (gaz des hauts fourneaux) cette méthode pourrait être étudiée pour les besoins industriels.

## ΒΙΒΛΙΟΓΡΑΦΙΑ

1. BISCHOFF, *Schweiger's Journ.*, **3**, p. 195, 1825.
2. F. FÖRSTER und BLANKENBERG, *Ber.*, **39**, s. 4429, 1906.
3. J. REOURA, *Comp. Rend.*, **148**, p. 1106, 1909.
4. R. LUTHER, *Zeit. Phys. Chem.*, **36**, s. 396, 1901.
5. ABEL, *Zeit. Anorg. Chem.*, **26**, s. 412, 1901.
6. BODLÄNDER und STORBECK, *Zeit. Anorg. Chem.*, **31**, s. 458, 1902.
7. F. FENWICK, *Journ. Amer. Ch. Soc.*, **48**, p. 860, 1926.
8. DENHAM, *Journ. Chem., Soc.*, **93**, p. 424, 1908.

RAMSAY LABORATORY OF INORGANIC AND PHYSICAL CHEMISTRY  
UNIVERSITY COLLEGE-LONDON.

**ΜΑΘΗΜΑΤΙΚΑ ΑΣΦΑΛΙΣΤΙΚΑ.** — Περὶ ἐνὸς γενικοῦ τύπου τῆς κοινωνικῆς ἀσφαλίσεως καὶ ἐφαρμογῆς αὐτοῦ εἰς τὸν νόμον 6298 τῆς Ἑλληνικῆς κοινωνικῆς ἀσφαλίσεως\*, ὑπὸ Νείλου Σακελλαρίου.

§ 1. Ο ς. Maurice Fréchet εἰς τὸ ἔργον αὐτοῦ «Sur une formule générale pour le calcul des primes pures d'assurance de la vie»<sup>1</sup> δίδει τὸν ἑξῆς τύπον:

\* N. SAKELLARICU.—*Sur une formule générale de l'assurance sociale et son application à la loi 6298 de l'assurance sociale grecque.*

<sup>1</sup> International Mathematical Congress, Toronto, Canada, 1924 καὶ Publications de l'institut de Math. de l'Université de Strasbourg, 1929.